

Úlohou tejto práce je posúdiť presnosť merania, rôzne vonkajšie vplyvy na nameranú hodnotu a zistiť optimálne podmienky pre meranie.  
Keďže uvedený spôsob merania je veľmi jednoduchý, javilo sa nám účelným aplikovať ho aj na vzorky konečných rozmerov a zistiť príslušné odchyly od správnej hodnoty.

Okoľosť, že opísaná metóda merania sa hodí len pre masívnejšie materiály, bola podnetom pre teoretické vyšetrenie tepelných pomerov aj v tenkých vzorkách. Z toho vyplynula ďalšia veľmi jednoduchá metóda merania, ktorá je v tejto práci teoreticky zdôvodnená a experimentálne overená.

## NOVÉ METÓDY MERANIA KOEFFICIENTU TEPLOTNEJ A TEPELNEJ VODIVOSTI LÁTOK

JÚLIUS KREMPASKÝ, VALÉRIA MACKOVÁ, EVA SKOČKOVÁ, Bratislava

### 2. Meranie podľa metódy opisanej v práci [5]

Podľa tejto metódy možno koeficient teplotnej vodivosti polonekonečného materiálu (obr. 1) určiť vzäťom

$$k = \frac{r^2}{\pi t_1} \left( \frac{1 - \frac{T_1}{T_2} \sqrt{\frac{t_1}{t_2}}}{1 - \frac{T_1}{T_2}} \right)^2, \quad (2.1)$$

kde  $r$  — vzdialenosť medzi termočírankom a bodovým tepelným zdrojom,  $t_1, t_2$  —

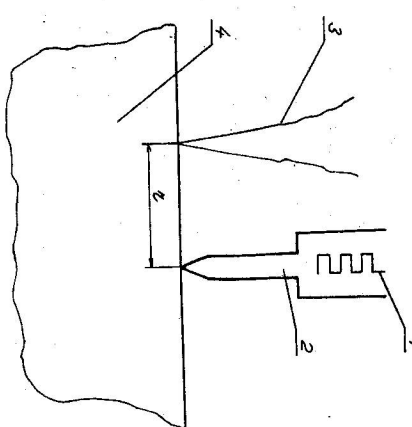
= vhodne zvolené časové okamžiky (musí

platit  $\frac{r}{\sqrt{2kt}} < 1$ ),  $T_1/T_2$  — podiel teplôt

atomovej fyziky, v elektrotechnike (polovodiče) má veľký význam znalosť ich tepelných charakteristik: koeficientu teplotnej a tepelnnej vodivosti, resp. špecifického tepla. V súvislosti s tým sa objavia potreba vypracovať rýchle, nenáročné a pritom dostačujúce presné metódy na ich meranie.

Doteraz používané metódy merania sa uplatňujú prevažne len v laboratórnych podmienkach. Stacionárne metódy merania (pozri napr. [1]) majú nevýhody v tom, že sú zdlhavé (meranie trvá aj niekoľko hodín), pri meraní sa vyžadujú presne graduované termočíranky, prípadne aj normál. Metódy opisané v prekladných knihách [2], ako aj metódy používané najmä v súčasnej polovodičovej meracej technike [3], [4] sú dosť zložité a podobne ako predchádzajúce metódy vyžadujú vzorky opracované do pravidelných geometrických tvarov, čo znemožňuje ich používanie napr. pre rýchlu kontrolu tepelných charakteristik na vyrabenej materiáloch, pre zistovanie tepelných nemohogenít, pre meranie na hotových prvkoch atď.

V práci [5] je teoreticky zdôvodnená nová rýchla metóda merania tepelných parametrov látok. Meranie dáva správne výsledky pre polonekonečné vzorky.



Obr. 1. Schematické usporiadanie na meranie koeficientu teplotnej vodivosti. 1 — výhrevná číranka, 2 — bodový tepelný zdroj, 3 — termočíranka, 4 — meraný materiál.

Pri tomto meraní je tepelný zdroj trvale zapnutý. Ak zapneme tepelný zdroj len na okamih a zmeráme čas  $\Delta t$ , za ktorý nastane maximum teploty v mieste termočíranku (čo sa prejaví zväratom ručičky galvanometra), môžeme koeficient teplotnej vodivosti počítať zo vzäťu

$$k = \frac{r^2}{6\Delta t}. \quad (2.2)$$

Vzäťy pre meranie koeficientu teplotnej vodivosti sú uvedené v práci [5]. Zo

známych hodnôt koeficientu teplotnej a tepelnej vodivosti vyplýva aj hodnota špecifického tepla na základe vzťahu

$$k = \frac{\lambda}{c\rho}, \quad (2.3)$$

kde  $\rho$  – špecifická hmota látky.

Meranie koeficientu teplotnej vodivosti sme robili pomocou prístroja opisaného v práci [5] na základe vzťahu (2.1). Ako indikátora teploty sme používali med' konštantový termočiarko pripojený na citlivý interflex – galvanometr. Okruh galvanometra bol prispôsobený tak, aby bola potlačena chyba spôsobená zotváračosťou galvanometra. Všetky merania sme robili pri maximálnej citlivosti prístroja. Teplota okolia pri meraní bola  $20^{\circ}\text{C}$ .

## 2.1. Meranie na polonekonečných vzorkach

Pre meranie sme použili dostačene masívne vzorky olova a železa, aby sme ich mohli považovať za polonekonečné. (Kedy už možno považovať vzorku za polonekonečnú, bude ozrejmeň v ďalších odsekcích.)

Medený výhrievací blok sme napájali cez autotransformátor, takže sme mohli vyšetrovať vplyv rôznej teploty ohrievača na meranie. Ukázalo sa, že i v značne širokom intervalu rozdielu teplôt medzi vzorkou a ohrievačom ostáva podiel  $T_1/T_2$  prakticky stály a teda volba teploty tepelného zdroja nemá na meranie žiadny vplyv, čo je v súhlase s teoretickým výsledkom v práci [5]. Rovnako sme nepozorovali vplyv rôznej intenzity príslušenia zdroja na meranú vzorku.

Presnosť merania koeficientu teplotnej vodivosti závisí teda hlavne od presnosti zmerania podielu  $T_1/T_2 = s_1/s_2$  ( $s_1, s_2$  – výhľoky galvanometra) a od presnosti zmerania vzdialenosť termočiarku od zdroja. Pravdepodobná chyba spojená s meraním  $T_1/T_2$  sa na polonekonečných vzorkách olova pohybovala v medziach  $0,11 - 0,32\%$ , na polonekonečných vzorkach železa v medziach  $0,15 - 0,5\%$ . Malé zväčšenie chyby pri meraniah na železe má zrejme príčinu v tom, že v tom prípade nebolo možné dosiahnuť taký dobrý kontakt medzi vzorkou a termočiarkom ako v prípade olova.

Chyba spojená s meraním vzdialenosť  $r$  bola väčšia, pretože zdroj, ktorý ideálne má byť bodový, mal s ohľadom na citlosť merania konečnú plochu priezvu na styku so vzorkou. I za týchto podmienok však celková chyba merania nepresahovala  $1 - 2\%$ .

Vôľbou čo možno najmenšej plochy stýčného priezvu zdroja (intenzívnejšie ohrievanie to umožňuje), výbou väčšej vzdialenosť  $r$  a mikrometrickým posuvom možno ľahko chybu súvisiacu s meraním vzdialenosť potlačiť aj pod úroveň chyb súvisiacich s meraním podielu  $T_1/T_2$ . To by značilo, že chyba merania koeficientu teplotnej vodivosti by bola len niekoľko desať percenta.

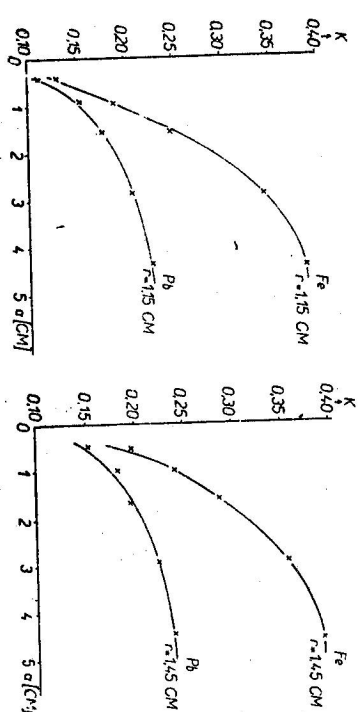
Pri meraní na polovodičoch možno využiť ich pomerne veľkú termosiu a namiesto termočiarku použiť obyčajnú kovovú sondu. To umožňuje jednak meranie na podstatne menších vzorkách a značne zvyšuje presnosť meranie ( $\sim 1\%$ ).

## 2.2. Meranie na vzorkách s konečnou hrúbkou a veľkou plochou

Pri meraní na vzorkách s konečnou hrúbkou a veľkou (teoreticky nekonečnou) plochou sme používali sériu olovených vzoriek o ploche  $P \approx 55 \text{ cm}^2$  s hrúbkami od  $0,4 \text{ cm}$  do  $4,5 \text{ cm}$ . Merali sme pri dvoch vzdialenosťach termočiarku od zdroja: od  $0,4 \text{ cm}$  do  $4,5 \text{ cm}$ . Merali sme pri dvoch vzdialenosťach termočiarku od zdroja:  $r_1 = 1,45 \text{ cm}$ ,  $r_2 = 1,15 \text{ cm}$ . Aby bola splnená podmienka  $\frac{r}{\sqrt{2kt}} < 1$ , volili sme časové okamihy  $t_1 = 10 \text{ sec}$ ,  $t_2 = 20 \text{ sec}$ .



Obr. 2: Závislosť koeficientu teplotnej vodivosti olova a železa od hrúbky vzorky.



Obr. 3: Závislosť koeficientu teplotnej vodivosti olova a železa od podielu hrúbky a vzdialenosťi  $r$  ( $d/r$ ).

Výsledky merania sú graficky zaznamenané na obr. 2. Na prvom je významná závislosť koeficientu teplotnej vodivosti od hrúbky olova a železa pre  $r_1 = 1,45 \text{ cm}$ , na druhom pre  $r_2 = 1,15 \text{ cm}$ . Výstiznejšou charakteristikou týchto závislostí je však obr. 3, na ktorom je znázornená závislosť na meraném koeficientu olova i železa od podielu hrúbky vzorky a vzdialnosti  $(d/r)$ .

Z obrázkov jednoznačne vyplýva, že so zmenšovaním hrúbky nameraná hodnota koeficientu teplotnej vodivosti pomere dosť prudko klesá. Príčina toho poklesu je zrejmá: odovzdané teplo zohrieva vzorku na vyššiu teplotu, než ju predpisuje teoretické riešenie. Pri dostatočne veľkých hrúbkach sa však

Obr. 3: Závislosť koeficientu teplotnej vodivosti olova a železa od podielu hrúbky a vzdialenosťi  $r$  ( $d/r$ ).

už meranie ustaľuje a počnúc určitou kritickou hrúbkou sa nameraná hodnota už vôbec nemení. Z obr. 3 vyplýva, že táto ustaľená oblasť merania nastáva, ak  $d/r \geq 3,5$ . Vzorky, pre ktoré je táto nerovnosť splnená, možno teda považovať za polonečnečne a meranie na nich uvedenou metódou za absolútne.

### 2.3. Meranie na malých vzorkach

V prípadoch, keď nie sú k dispozícii masívne vzorky, je dôležité poznať charakter závislosti nameranej hodnoty teplotnej vodivosti od geometrických rozmerov vzoriek. Napr. v polovodičovej meracej technike sa stretávame takmer výlučne len s malými vzorkami. Za účelom namerania takejto závislosti sme vynohovali sériu obdĺžnikových vzoriek s konštantným pomerom strán ( $a/b = 1,42$ ) z olova. (Polovodič germánium a kremík majú približne rovnaký koeficient teplotnej vodivosti ako olovo.) Pri meraní bol zdroj i termočlánok umiestený v osi rovnobežnej s dĺžkou stranou. Ich vzájomná vzdialenosť bola opäť 1,45 a 1,15 cm.

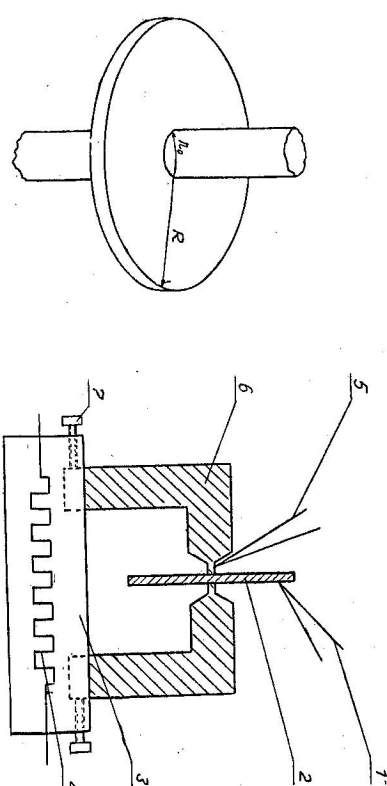
I pri týchto meraniach sa chyba spojená s meraním  $T_1/T_2$  pohybovala v hraniciach 0,1 až 0,3%. Nebolo možné konštruuovať nijakú význačnú závislosť chyby merania od geometrických rozmerov vzoriek. Svedčí to o tom, že vplyvy spôsobené napr. vzdľavnými príslušními, odvodom tepla, vyžarovaním, intenzitou ohrevu a ďalšimi malou druhoradý význam. Merateľne by sa mohli prejaviať len pri vzorkach s veľmi malou tepelnou vodivosťou. Rovnako sme nepozorovali prakticky žiadny vplyv kvality povrchu na meranie. Je to vysvetliteľné tým, že termočlánok bol umiestnený v určitej malej hĺbke pod povrchom vzorky a zachycaje teda tepelný stav nie povrchu, ale samotného materiálu.

Namerané závislosti sú znázornené na obr. 4. Z priebehu týchto grafov vyplýva zaujímavý záver: ak je vzorka už dostatočne malá, závisnosť nameraná hodnota slabovo od geometrických rozmerov a je prakticky nezávislá od hrúbky. Táto okolnosť je pre meracie účely veľmi výhodná a svedčí o tom, že pri rešpektovaní učitného ko-

rekčného faktora možno uvedenú metódu merania aplikovať s dosťatočnou presnosťou i na malé vzorky. V nasledujúcich úvahách si však ukažeme, že možno veľmi jednoducho merať koeficient teplotnej vodivosti i na tenkých vzorkách absolutne, t. j. bez uvažovania korekčných faktorov.

### 3. Meranie koeficientu teplotnej vodivosti na kruhových vzorkách lubovoľnej hrúbky

V prípadoch, keď nie sú k dispozícii masívne vzorky, možno koeficient teplotnej vodivosti jednoducho a pritom dosťatočne presne nameriť na kruhových vzorkách lubovoľnej hrúbky. Vzorka je bud prevŕtaná (obr. 5) a ohrievač cez ňu prevlečený



Obr. 5. Vzorka materiálu s prevlečeným vyhrievacím systémom na meranie teplotnej vodivosti. — Obr. 6. Schéma zariadenia pre meranie koeficientu teplotnej vodivosti pre tenké kruhové vzorky.  
1 — termočlánok, 2 — meraná vzorka, 3 — medený blok, 4 — výhrevná spirála, 5 — termočlánok, 6 — vyhrievací rámik, 7 — skrutka.

— ako oska, alebo, ak je dosťatočne tenká, stačí ju v strede z dvoch strán stlačiť dvoma rovnakými násadcami s rovnakým polomerom styčnej plochy  $r_0$  (obr. 6). V čase  $t = 0$  sa ohrievač zapne a udržuje na styčnej ploške so vzorkou konštantnú teplotu. V lubovoľnom bode vzorky (napr. na obvode) sa umiesti termočlánok\* tak, aby meral termopátie úmerné teplotnému rozdielu medzi vyhrievaným miestom a termočlánkom.

Podľa teoretického výsledku odvodeneho v dodatku možno koeficient teplotnej vodivosti takejto vzorky počítať vzäťom

$$k = \frac{A}{\Delta t} \ln \left| \frac{T_1}{T_2} \right|, \quad (3,1)$$

Obr. 4. Závislosť koeficientu teplotnej vodivosti olova od dĺžky strany  $b$   
pre malé pozdĺžnikovité vzorky.

\* Pri meraní na polovodiči stačia dve kovové sondy, ako je uvedené na konci odstavca 2.1.

kde  $T_1/T_2$  – podiel teplôt v mieste termočlánku vzhľadom na teplotu ohrievača, meraných v časových okamihoch  $t_1, t_2$  po zapnutí zdroja,  $\Delta t = t_2 - t_1$  a  $A$  – koeficient charakterizujúci geometrické rozmery vzorky, ktorý má hodnotu

$$A = \frac{R^2 \left(1 - \frac{3b}{2}\right)}{3b}; \quad b = \frac{r_0}{R}. \quad (3,2)$$

Ak je termočlánok dvojitý a upevnený jedným koncom na vzorke a druhým na ohrievači, je podiel  $T_1/T_2$  rovný priamo podielu príslušných výhybiek galvanometra pripojeného na termočlánok. Vidiame, že v porovnaní s predchádzajúcou metódou odpadá problém merania vzdialosti zdroja a termočlánku a meranie možno začať kedykoľvek po zapnutí zdroja, pretože vo výslednom vzťahu vystupuje len dôjka časového intervalu medzi prvým a druhým zmeraním výhybky.

Meranie podľa vzťahu (3,1) je tým presnejšie, čin je  $r_0 < R$ . Pri presnom meraní sa neodporúča merat výhybky ihneď po zapnutí zdroja.

### 3.1. Meracie zariadenie

Meranie možno robiť napr. priamo podľa obr. 5 alebo 6. Ak je však ohrievač elektricky vodivý, má tento spôsob nevyhodu v tom, že sa okruh termočlánku skratuje. Je preto v tomto prípade treba merat dvojmu oddelenými termočlánkami.

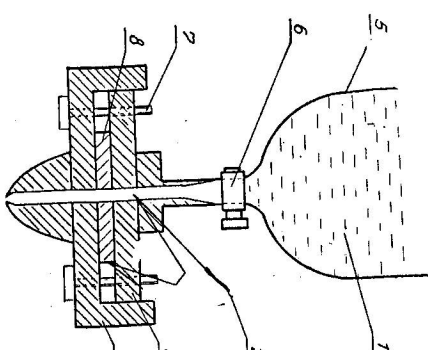
Aby sme sa vyhli uvedenej ťažkosti, použili sme ako tepelný zdroj elektricky nevodivú kvapalinu – olej alebo destilovanú vodu. Zariadenie pre tento účel je schematicky znázornené na obr. 7. Z rezervoára zohriatej kvapaliny 5 sa kohútikom 6 vypustia kvapalina do otvoru v nádobe s pevnou 4 a pohybliavou stenou 3. Vnútri nádoby je prevŕtaná vzorka 8 od nádoby tepelné izolovaná. Termočlánok 2 jedným spojom zasahuje priamo do kvapaliny vo vzorke, druhým spojom je pripojený k posuvnej dosťičke 3. Vnútri rezervoára je umiestnený termočlánok 1, ktorý je pripojený k skruke 7.

Opisaný spôsob merania má ďalšiu výhodu v tom, že ho ľahko možno upraviť na meranie vo vákuu a na meranie v širokom intervale teplôt. Najmä pri meraní pri nízkych teplotách sa uplatňuje okolnosť, že zdroj tepla je fakticky mimo meracie prostredie a teda že nezvyšuje teplotu okolia vzorky.

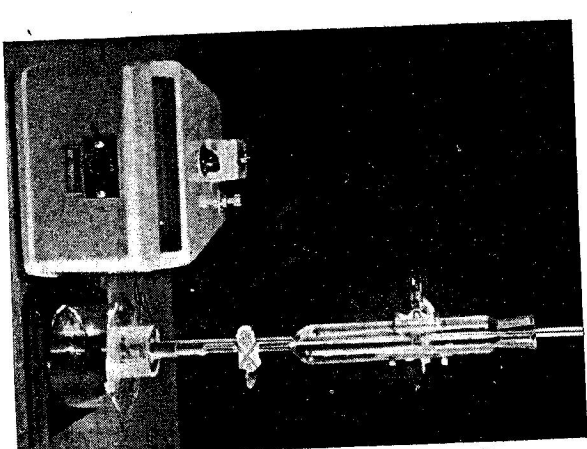
### 3.2. Meranie a zhodnotenie výsledkov

Ak nehládime na prácu spojení s určením konštanty  $A$ , ktorej hodnota vyplýva z geometrických rozmerov vzorky, spočíva celé meranie v určení podielu výhybiek galvanometra pripojeného na termočlánok  $s_1/s_2$  vo zvolenom časovom rozpätí  $\Delta t$ . Okolnosť, že vo vzťahu (3,1) nevystupuje absolutna hodnota času, umožňuje v príbehu niekoľkých desiatok sekúnd urobiť niekoľko meraní odrazu. Stačí pri trvalom pretekani kvapaliny sledovať ručičku galvanometra a v stanovenom intervale od-

čítavať jej polohu. Vždy z dvoch za sebou nasledujúcich hodnôt možno pomocou vzťahu (3,1) vypočítať koeficient teplotej vodivosti a vziať z nich strednú hodnotu. Chyba spojená s meraním podielu  $s_1/s_2$  je približne rovnako veľká ako v predchádzajúcej metóde. Avšak pretože tu odpadá úloha merat vzdialosť zdroja od termočlánku, čo v predchádzajúcej metóde značne ovplyvňuje presnosť merania, je meranie touto metódou presnejšie. Pri dobrém splnení teoretických predpokladov je presnosť merania okolo  $\pm (1-3)\%$ .



Obr. 7. Zariadenie pre meranie koeficientu teplotej vodivosti na tenkých vzorkách pomocou pretekajúcej kvapaliny. 1 – zohriata kvapalina, 2 – termočlánok, 3 – posuvná dosťička, 4 – pevný rámik, 5 – zásobník, 6 – výpustný kohútik, 7 – skruka. — Obr. 8. Celkový pohľad na meracie zariadenie.



Vzťah pre konštantu  $A$  (3,2) je sice approximatívny, ale ako ukázali mernia, výhovuje veľmi dobre. Konečne, jej hodnotu nie je potrebné určovať početne. Možno ju zmerať na tepelnom normále na základe vzťahu (3,1). Pretože jej hodnota závisí od geometrie vzorky, mala by takto nameraná konštantu  $A$  pre všetky podobné vzorky rovnakú hodnotu.

### 4. Záver

Ak nehládime na prácu spojení s určením konštanty  $A$ , ktorej hodnota vyplýva z geometrických rozmerov vzorky, spočíva celé meranie v určení podielu výhybiek galvanometra pripojeného na termočlánok  $s_1/s_2$  vo zvolenom časovom rozpätí  $\Delta t$ . Okolnosť, že vo vzťahu (3,1) nevystupuje absolutna hodnota času, umožňuje v príbehu niekoľkých desiatok sekúnd urobiť niekoľko meraní odrazu. Stačí pri trvalom pretekani kvapaliny sledovať ručičku galvanometra a v stanovenom intervale od-

metrických tvarov. Ukázalo sa, že zavedením určitej korekcie by bolo možné uvedenou metódou spoločne premeriavať i malé vzorky.

V druhej časti práce je ukázané, že pre meranie koeficientu teplotnej vodivosti na malých vzorkach (nie je to však podmienkou) sa oveta lepšie ako predchádzajúca metoda, hoci metóda založená na šírení tepla vo valcovej (kruhovej) vzorke. Ak možno vzorku v prostredku prevítať, je výhodné ako tepelný zdroj použiť zohriatu kvapalinu (nevodivú), pretože potom pre meranie stačí jediný termočlánok. Ak vzorku nemôžno prevítať a ak je dostačne tenká, možno urobiť meranie obyčajným pritlačením dvoch vyhratých blokov rovnakého priezvu k vzorke. Meranie touto metódou, ktorá je v dodatku teoreticky vypracovaná, je nielen presnejšie, ale i jednoduchšie a pohodnejšie.

### 5. Dodatok: Teoretický výpočet k meraniu na kruhových vzorkách

Majme vzorku materiálu podľa obr. 5. Nech má všade konštantnú hodnotu koeficientu teplotnej vodivosti a nech  $R$  značne prevyšuje  $r_0$ . Šírenie tepla v materiáli je všeobecne opisané rovnicou

$$\frac{\partial T}{\partial t} = k \left( \frac{\partial^2 T}{\partial x^2} + \frac{\partial^2 T}{\partial y^2} + \frac{\partial^2 T}{\partial z^2} \right). \quad (5.1)$$

Pretože nás problém je rovinný a s ohľadom na centrálnu os vzorky symetricky, môžeme po prepísaní rovnice (5.1) do sférických súradnic vychádzať pri riešení z rovnice

$$\frac{\partial T}{\partial t} = kr^2 \left( \frac{\partial^2 T}{\partial r^2} + \frac{2}{r} \frac{\partial T}{\partial r} \right). \quad (5.2)$$

Hranicné podmienky určime tak, aby teplota zdroja v hubovoľnom čase bola rovná nule. Teplota meranej vzorky v čase  $t = 0$  musí byť preto záporná  $-T_0$ . Ďalej budeme predpokladať, že cez obvod vzorky teplo do okolia neprechádza (po zanedbaní výzornejší by to presne platilo vo vákuu). Je teda treba nájsť riešenie rovnice (5.2)  $T(r, t)$  pri týchto hranicných a počiatocných podmienkach:

$$T(r_0, t) = 0, \quad (5.3a)$$

$$\left. \frac{dT(r, t)}{dr} \right|_{r=R} = 0, \quad (5.3b)$$

$$T(r, 0) = -T_0. \quad (5.3c)$$

Zavedaním substitúcie  $z = rT$  prejde rovnica (5.2) do tvaru

$$\frac{\partial z}{\partial t} = k \frac{\partial^2 z}{\partial r^2},$$

ktorú môžeme výhodne riešiť metódou separácie premenných. Dostali by sme [6]

$$z(r, t) = \sum_{n=1}^{\infty} e^{-a_n t} \left\{ A_n \sin \omega_n r + B_n \cos \omega_n r \right\}, \quad \omega_n = \sqrt{\frac{a_n}{k}}, \quad (5.4)$$

kde  $a_n$  – parameter, ktorého hodnotu určime z hranicných podmienok. Teplota  $T(r, t)$  v hubovoľnom mieste a čase teda je

$$T(r, t) = \sum_{n=1}^{\infty} e^{-a_n t} \left\{ A_n \frac{\sin \omega_n r}{r} + B_n \frac{\cos \omega_n r}{r} \right\}. \quad (5.5)$$

Hranicné podmienky (5.3) aplikované na funkciu (5.5) dajú dve lineárne a homogénne rovnice, ktoré majú riešenie, len ak ich determinant sa rovná nule, t. j.

$$\begin{vmatrix} \sin \omega_n r_0, & \cos \omega_n r_0 \\ \omega_n \cos \omega_n R - \frac{\sin \omega_n R}{R}, & -\omega_n \sin \omega_n R - \frac{\cos \omega_n R}{R} \end{vmatrix} = 0. \quad (5.6)$$

Pre neznáme parametre  $a_n$  z toho vyplýva podmienka

$$\operatorname{tg} \omega_n r_0 = - \frac{R \omega_n \cos \omega_n R - \sin \omega_n R}{R \omega_n \sin \omega_n R + \cos \omega_n R}. \quad (5.7)$$

Explicitne vyjadrit riešenie tejto rovnice pre  $a_n$  nie je možné. Pre nás je dôležité nájsť len prvé riešenia, t. j.  $a_1, a_2, \dots$ . Predpokladajme, že prvé riešenie bude také, že platí

$$x = \omega_1 R < 1, \quad \omega_1 = \sqrt{\frac{a_1}{k}}, \quad (5.8)$$

potom môžeme pre funkcie  $\sin x, \cos x, \operatorname{tg} x$  použiť výjadrenie vo forme radov a approximovať ich len prvými členmi. Tak dostaneme

$$a_1 = \frac{3bk}{R^2 \left( 1 - \frac{3b}{2} \right)}, \quad b = \frac{r_0}{R}. \quad (5.9)$$

Pretože podľa predpokladu je vždy  $r_0 \ll R$ , je  $b \ll 1$  a teda

$$\omega_1 R \approx \sqrt{3b} < 1.$$

Nerovnosť (5.8) je teda splnená.

Pre veľké hodnoty  $R$  môžeme v determinante (5.6) vyniechať členy úmerne  $R^{-1}$ , čím dostaneme

$$\operatorname{tg} \omega_n R = -\operatorname{cotg} \omega_n r_0.$$

Ak naviac je  $r_0$  dostačne malé, môžeme položiť  $r_0 \rightarrow 0$  a  $\operatorname{ctg} \omega_n r_0 \rightarrow \infty$  preto

$$\operatorname{tg} \omega_n R = -\infty. \quad (5.10)$$

Tejto rovnici využívajú riešenia

$$a_n = \frac{k}{R^2} \left[ \frac{(2n+1)\pi}{2} \right]^2, \quad (5.11)$$

Zostáva ešte splniť podmienku (5.3c). Z podmienky (5.3a) vyplýva

$$\frac{B_n}{A_n} = -\operatorname{tg} \omega_n r_0. \quad (5.12)$$

S ohľadom na nerovnosť  $b \ll 1$  a na vzťah (5.8) je  $B_n \rightarrow 0$ , preto podmienka (5.3c) žiada, aby platilo

$$\sum A_n \{\sin \omega_n r\} = -rT_0. \quad (5.13)$$

Pre naše účely nie je potrebné poznať hodnoty koeficientov  $A_n$ . Určili by sa rozvinutím funkcie  $-rT_0$  do Fourierovo radu.

Výhodné pre nás je, že pravú stranu rovnice možno approximovať hned prvým členom radu na ľavej strane. Na základe (5.8) je nutne  $\omega_r r \ll 1$ , preto môžeme písat

$$A_1 \omega_r r \approx -rT_0,$$

z čoho

$$A_1 = -RT_0 \sqrt{\frac{1 - \frac{3b}{2}}{\frac{3b}{2}}}. \quad (5.14)$$

Pretože  $a_2 > a_1$ , možno vhodnou volbou času  $t$  dosiahnuť, aby druhý člen radu (5.13) bol značne menší ako prvý. V tom prípade je teplota  $T(r, t)$  dostatočne určená prvým členom radu (5.5). Podiel dvoch teplôt  $T_1$  a  $T_2$  meraných v tom istom mieste v dvoch rôznych časových okamihoch  $t_1$  a  $t_2$ , ak označíme  $t_2 - t_1 = \Delta t$ , je preto zrejme

$$\frac{T_1}{T_2} = \exp \frac{3bk}{\left(1 - \frac{3}{2}b\right)R^2} \Delta t,$$

z čoho pre koeficient teplovej vodivosti vychádza

$$k = \frac{R^2 \left(1 - \frac{3b}{2}\right)}{3b \Delta t} \ln \frac{|T_1|}{|T_2|}. \quad (5.15)$$

Ak označime

$$A = \frac{R^2 \left(1 - \frac{3b}{2}\right)}{3b},$$

čo je konštantu charakterizujúcu geometrické rozmery vzorky, dostaneme

$$k = \frac{A}{\Delta t} \ln \frac{|T_1|}{|T_2|},$$

čo je vzorec (3.1) použitý v texte.

#### LITERATÚRA

- (1) Иоффе А. Ф., Физика полупроводников, Москва—Ленинград 1957.
- (2) Пыков А. В., Теория теплопроводности, Москва 1952.
- (3) Кондратев Г. М., Истинение на теплопроводность по методам регулярного режима, Москва 1936.
- (4) Иоффе А. Ф., Иоффе А. В., ЖТФ 22 (1952), 2005.
- (5) Полупроводники в науке и технике 1, ИАН СССР, Москва—Ленинград 1957.
- (6) Кремпaský J., ЖТФ(v tlaci).
- (7) Тихонов А. Н., Самарский А. А., Уравнения математической физики, Москва 1953.

Došlo 18. 6. 1960.

Katedra fyziky  
Slovenskej vysokej školy technickej  
v Bratislave

#### НОВЫЕ МЕТОДЫ ИЗМЕРЕНИЯ КОЭФИЦИЕНТА

#### ТЕМПЕРАТУРОПРОВОДНОСТИ И ТЕПЛОПРОВОДНОСТИ

Юлиус Кремпaský, Валерия Малкова, Эва Скокова

Резюме

В настоящей статье исследуются возможности быстрого измерения коэффициента температуропроводности и теплопроводности при помощи точечного источника тепла. Измерение зависимости коэффициента температуропроводности от геометрических размеров образца показало, что оно приводит к хорошим результатам, если эти размеры в 3—5 раз превышают расстояние источника тепла от термопары.

Для образцов круговой формы и произвольной толщины разработаны и экспериментально проверены другой быстро приводящий к цели метод измерения коэффициента теплопроводности, основанный практически только на вычислении двух отступлений гальванометра, присоединенного к термопаре. Если температура в окружющую среду не отдаётся, то точность измерения по обоим методам определяется практической только точностью измерения расстояний.

NEUE METHODEN DER MESSUNG DER TEMPERATUR- UND  
WÄRMELEITFÄHIGKEIT

Julius Krempaský, Valéria Macková, Eva Skočková

Zusammenfassung

In dieser Arbeit untersucht man die Möglichkeit die Temperatur- und Wärmeleitfähigkeit mittels einer Punktwärmesquelle schnell zu messen. Die Messungen der Abhängigkeit dieser von den geometrischen Abmessungen der Probe haben gezeigt, daß diese Methode rechte Ergebnisse gibt, wenn die Abmessungen 3—5 mal größer als der Abstand der Punktwärmesquelle von dem Thermoelement sind.

Für die beliebige dicke Kreisformige-proben ist eine andere schnelle Methode zur Messung der Wärmeleitfähigkeit vorgeschlagen und theoretisch gelegt. Diese Methode liegt praktisch in der Ablesung zweier hintereinander gehenden Ausschlägen des Galvanometers welcher ist an der Thermoelement gebunden. Wenn die Wärmeverluste in Umgebung ausgeschlossen sind, die Messungsfehler nach beiden untersuchten Methoden ist nur mit Fehler der Abstandmessungen bestimmt.